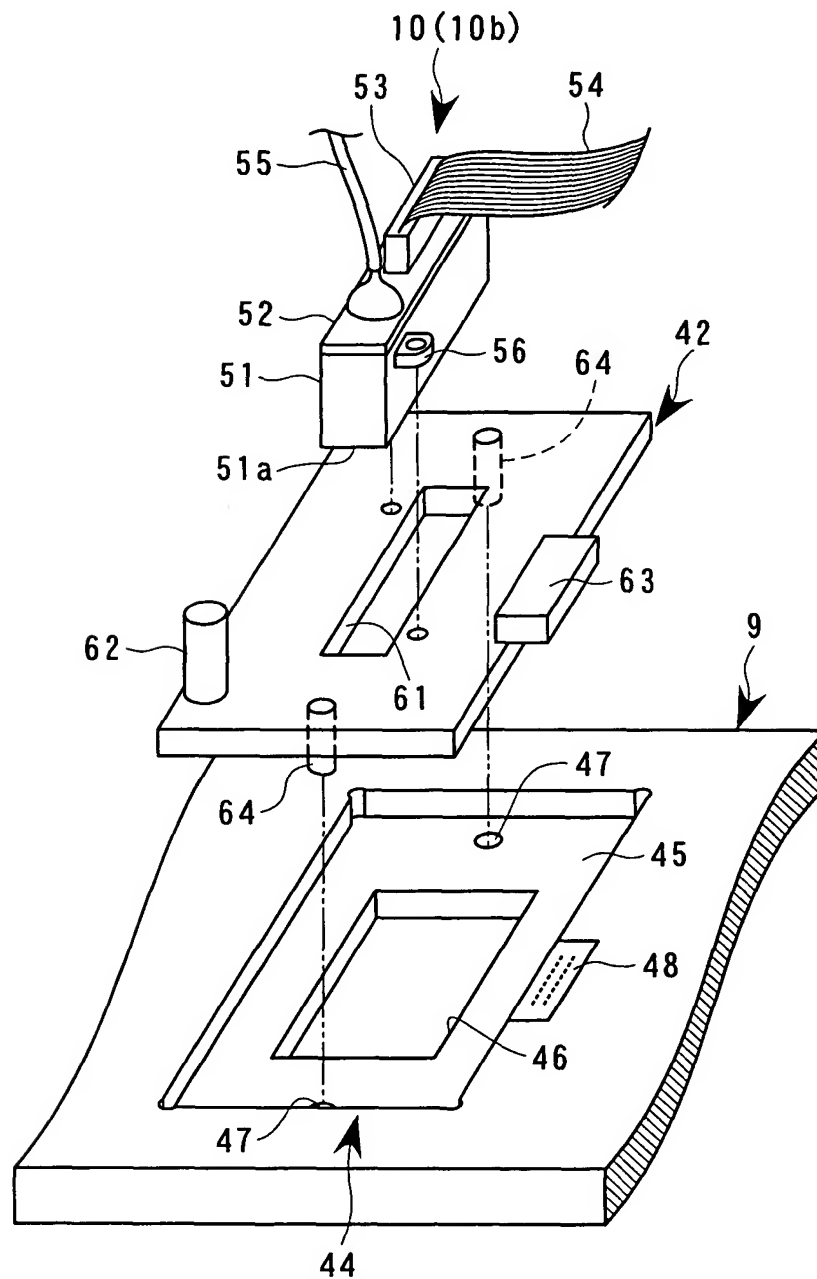


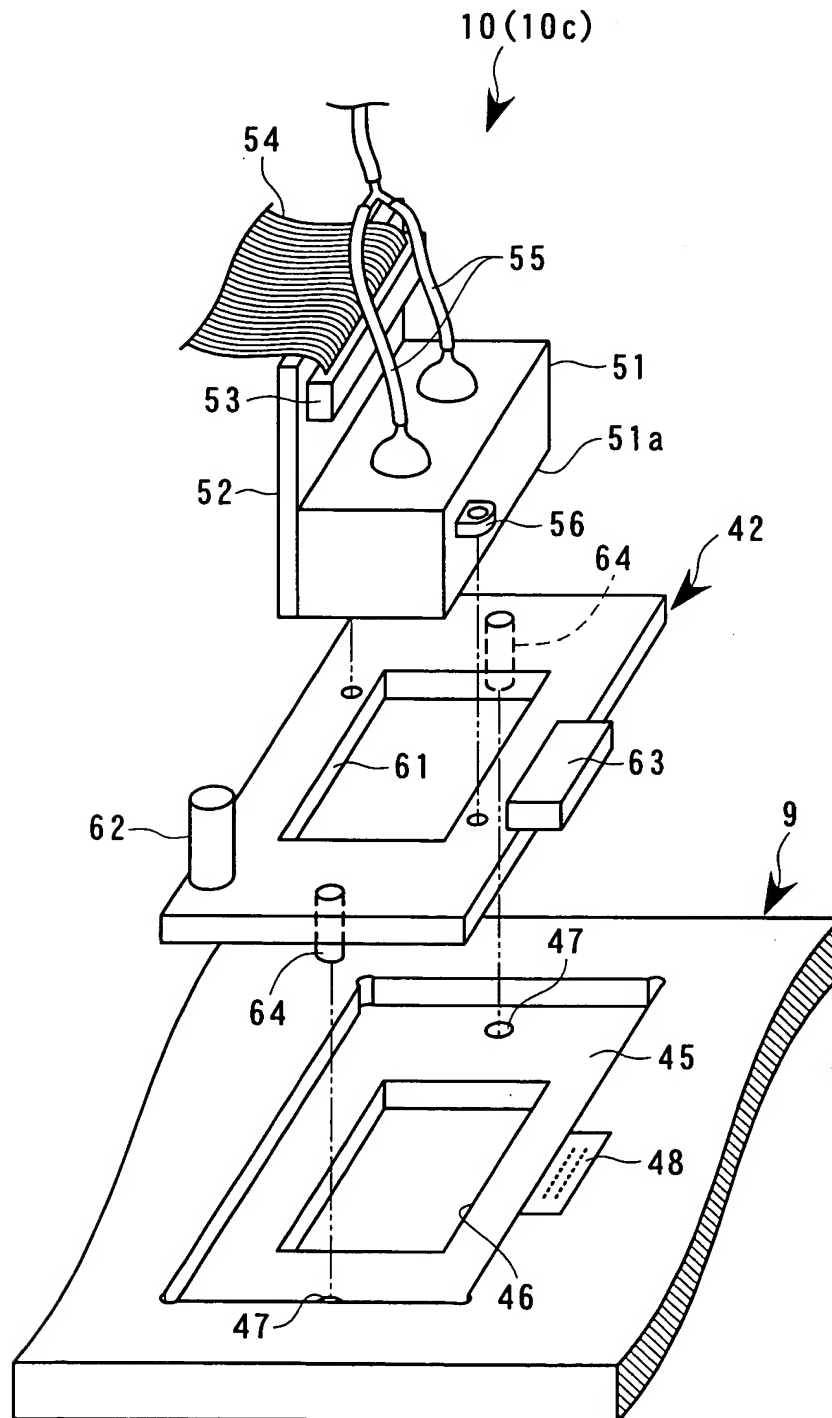
4/28

F I G . 4



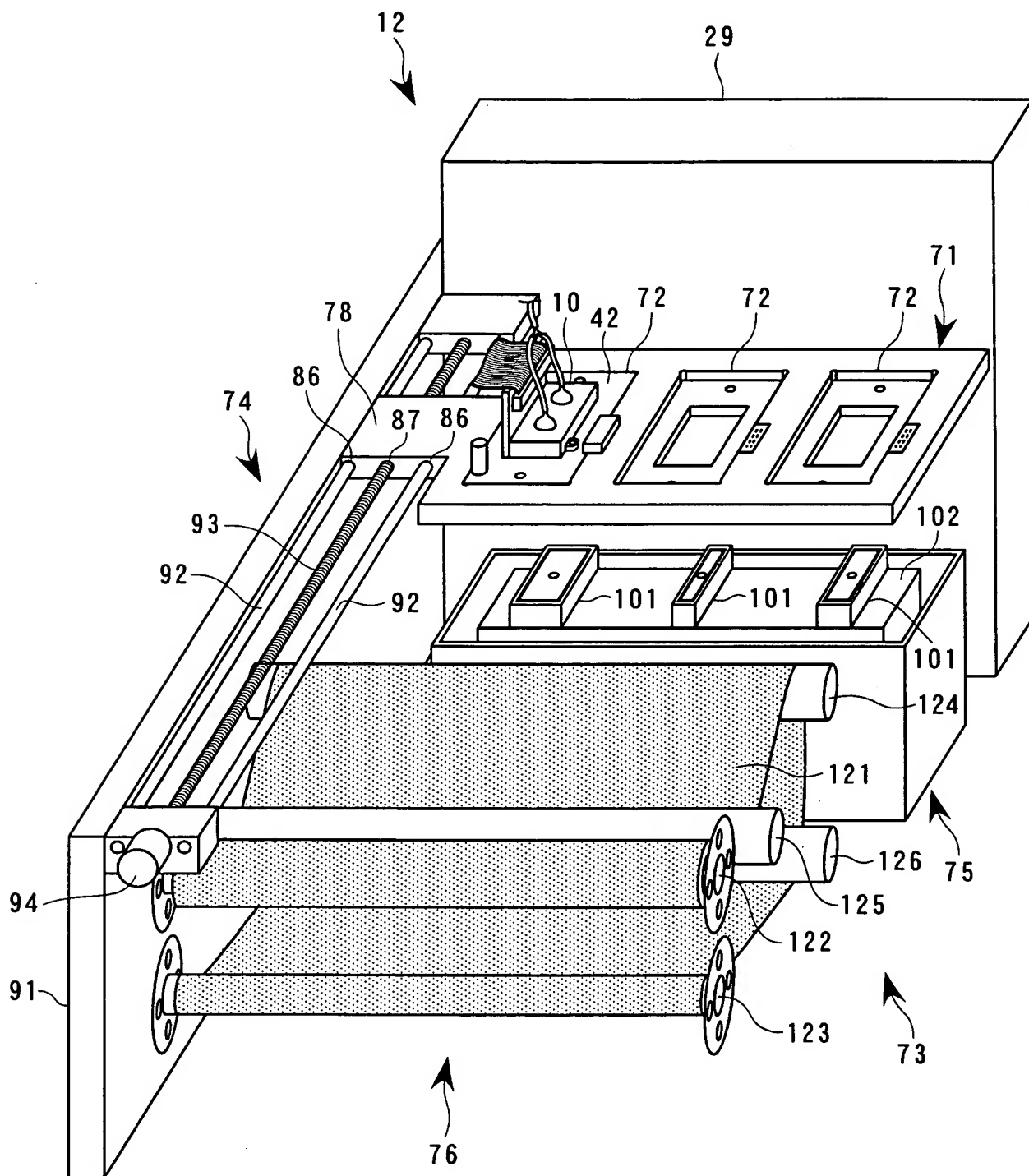
5/28

FIG. 5



6/28

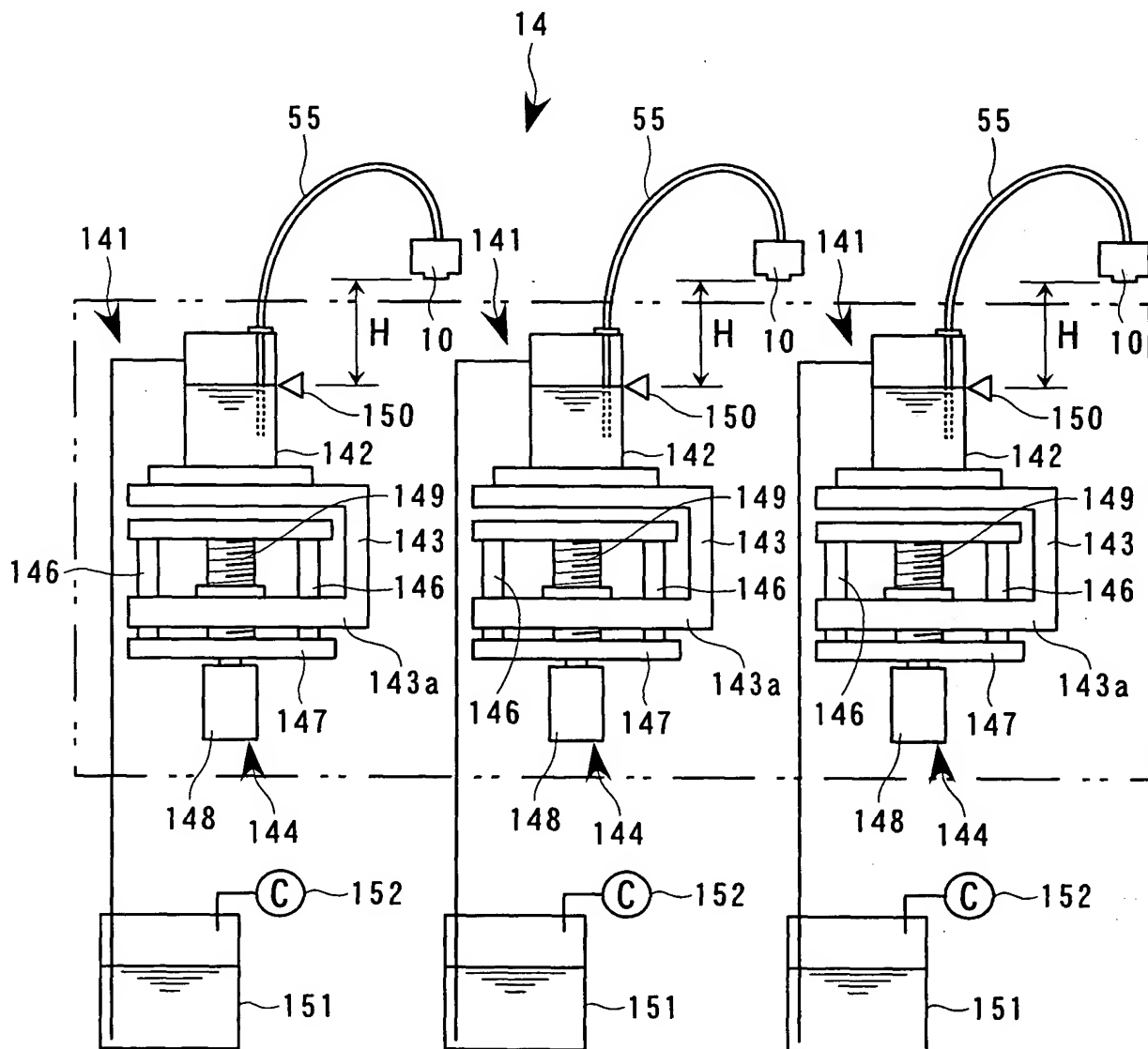
F I G. 6





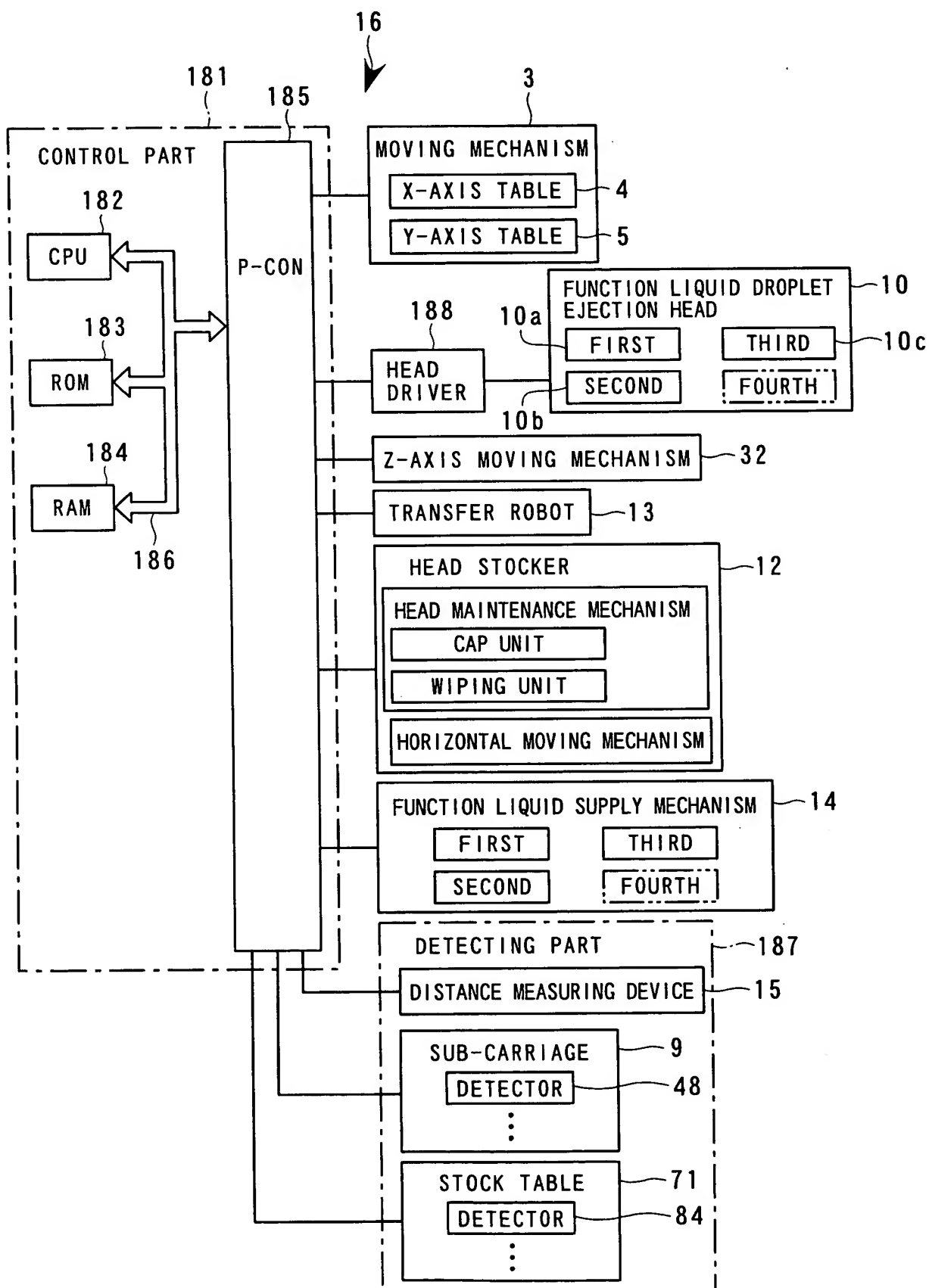
8/28

FIG. 8



9/28

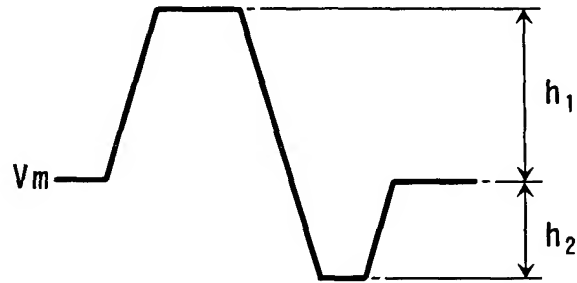
FIG. 9



10/28

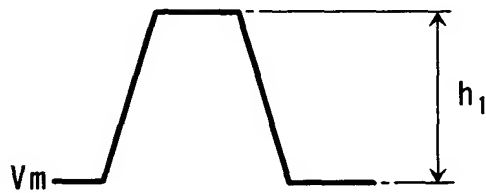
F I G. 1 0 A

EJECTION WAVEFORM



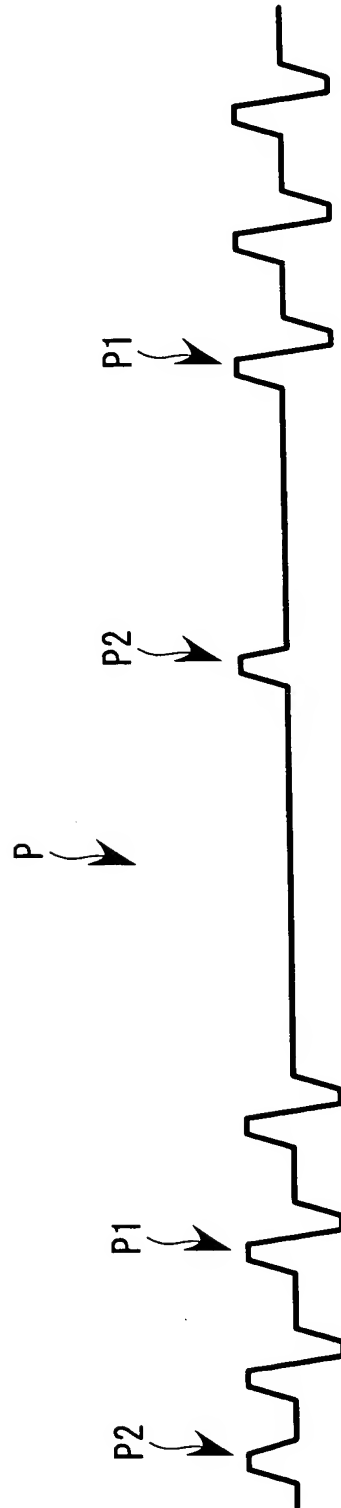
F I G. 1 0 B

FINE-VIBRATION WAVEFORM



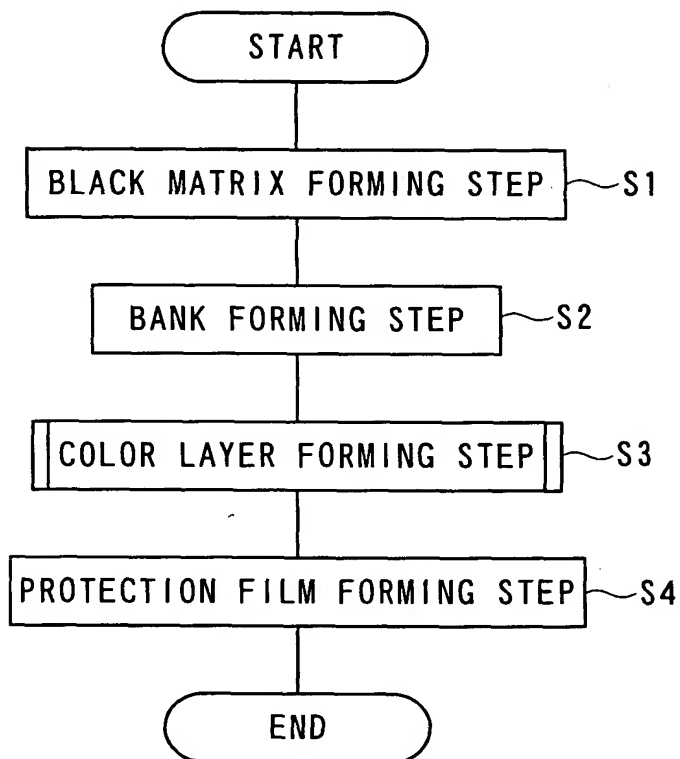
11/28

FIG. 11



12/28

FIG. 12



13/28

FIG. 13A



FIG. 13B

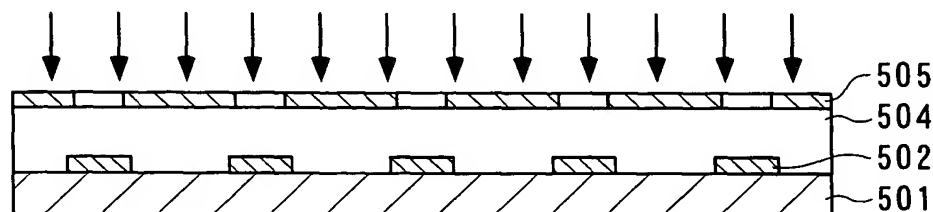


FIG. 13C

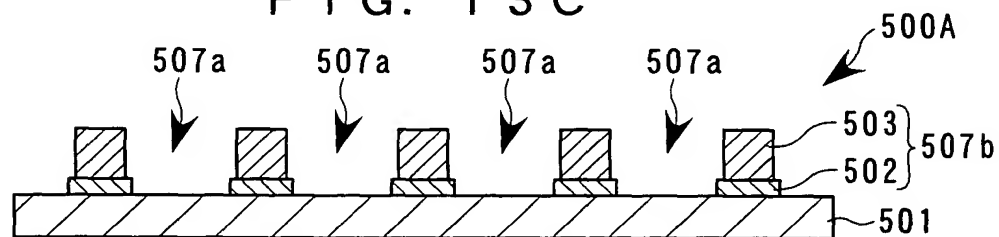


FIG. 13D

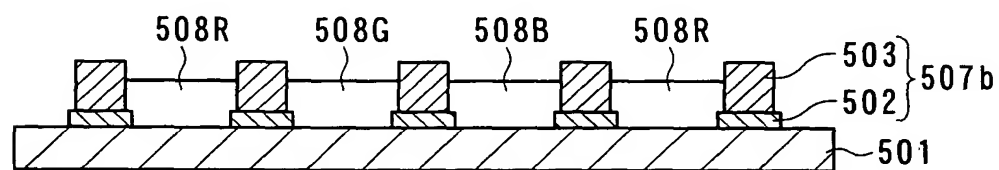


FIG. 13E

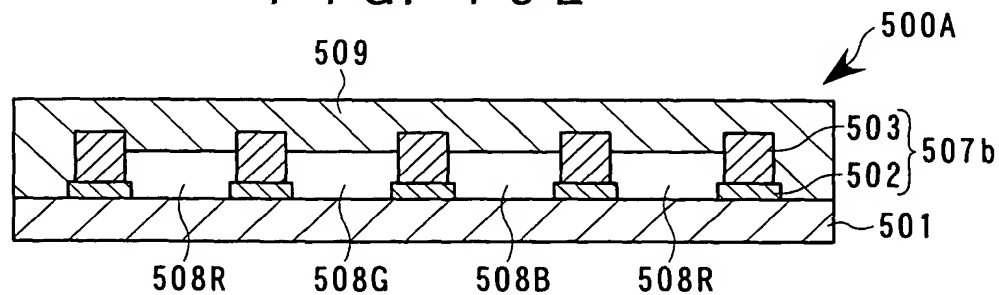


FIG. 14

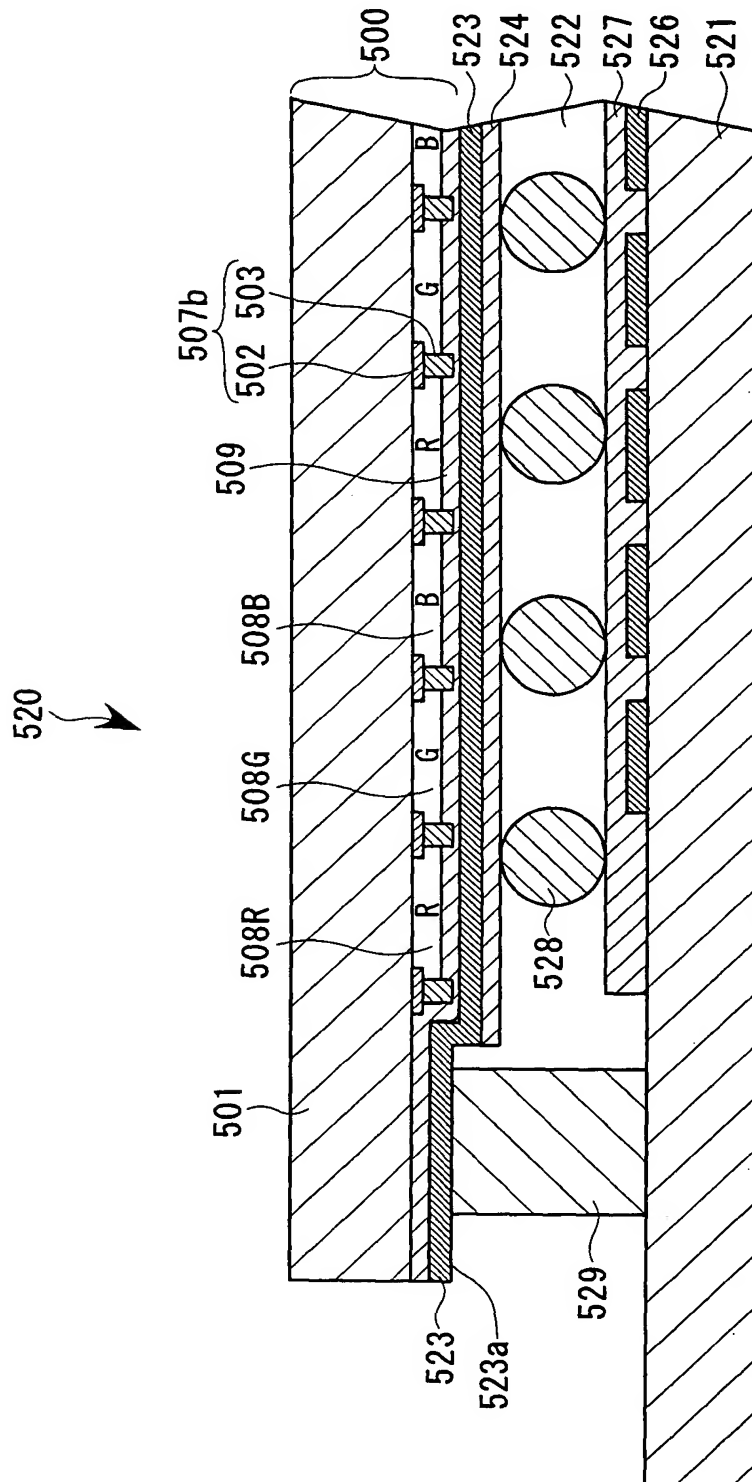
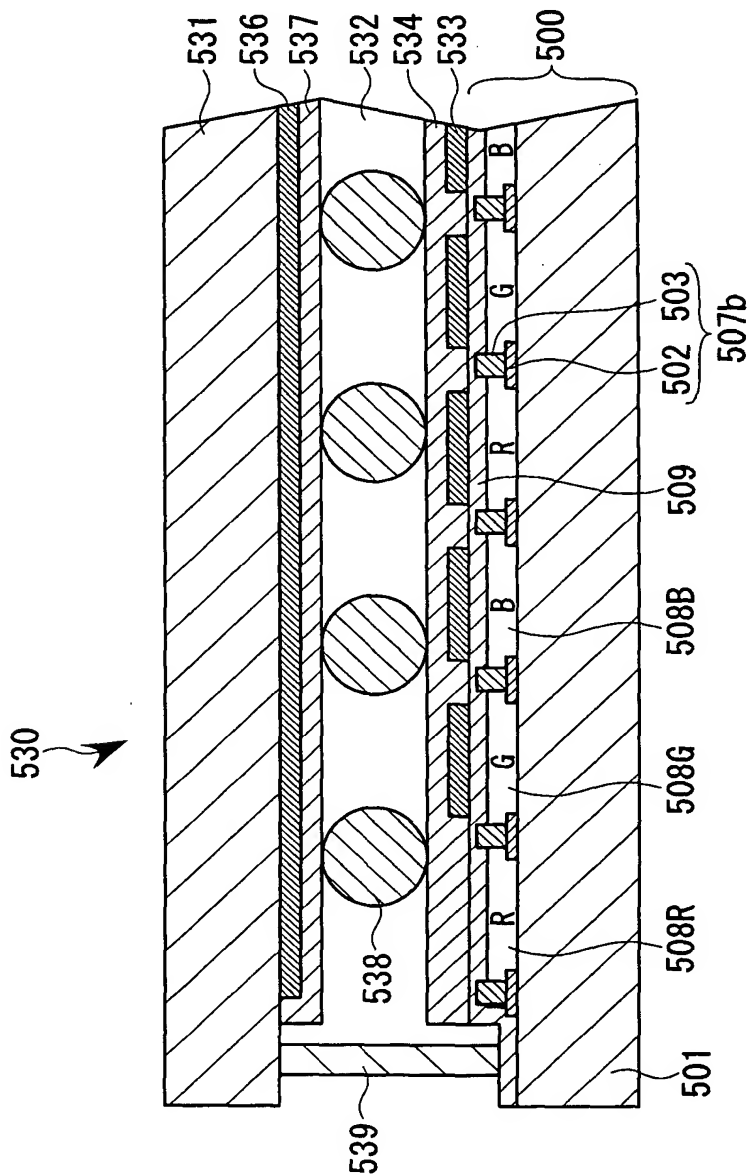


FIG. 15



16/28

F I G. 1 6

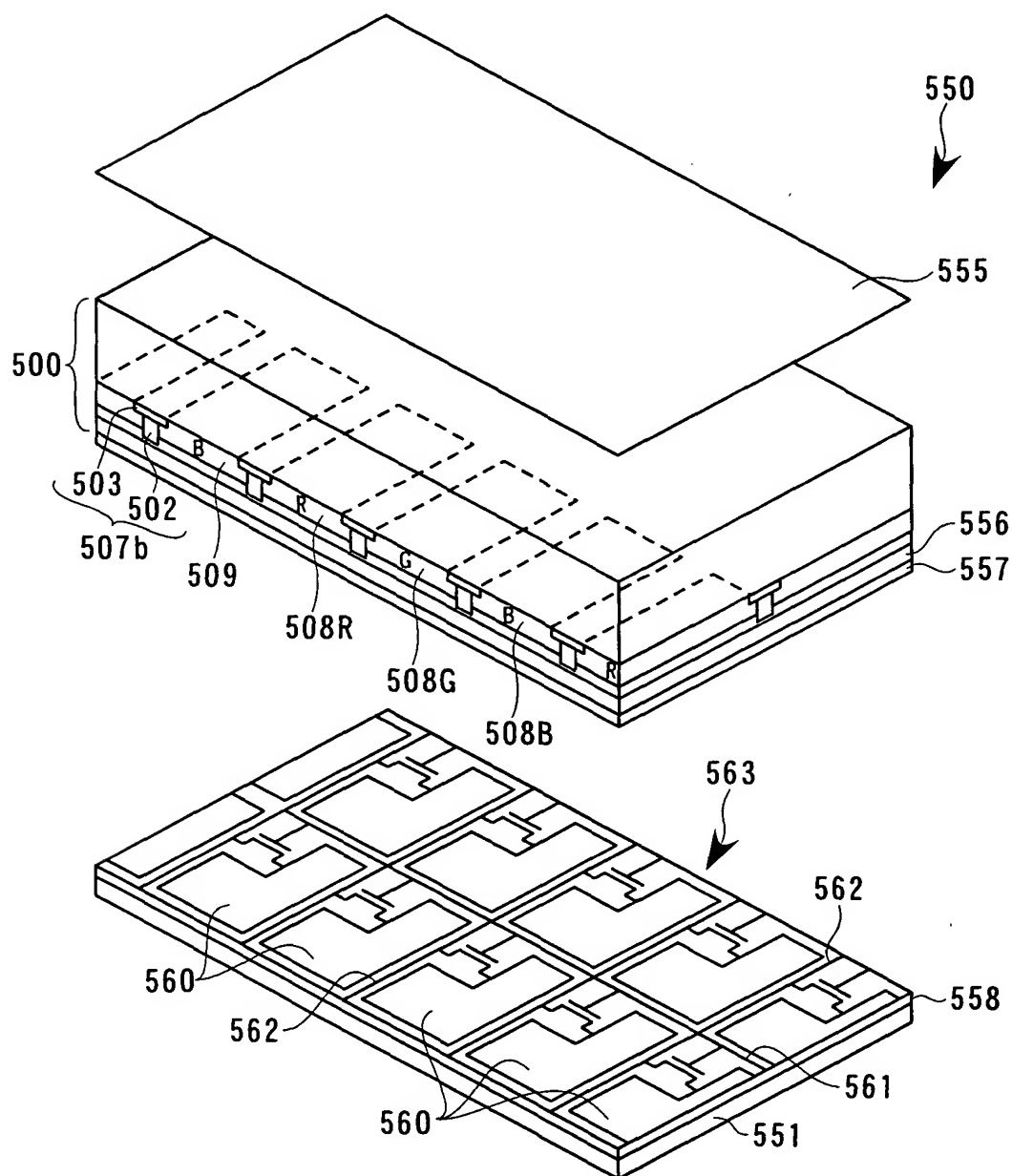
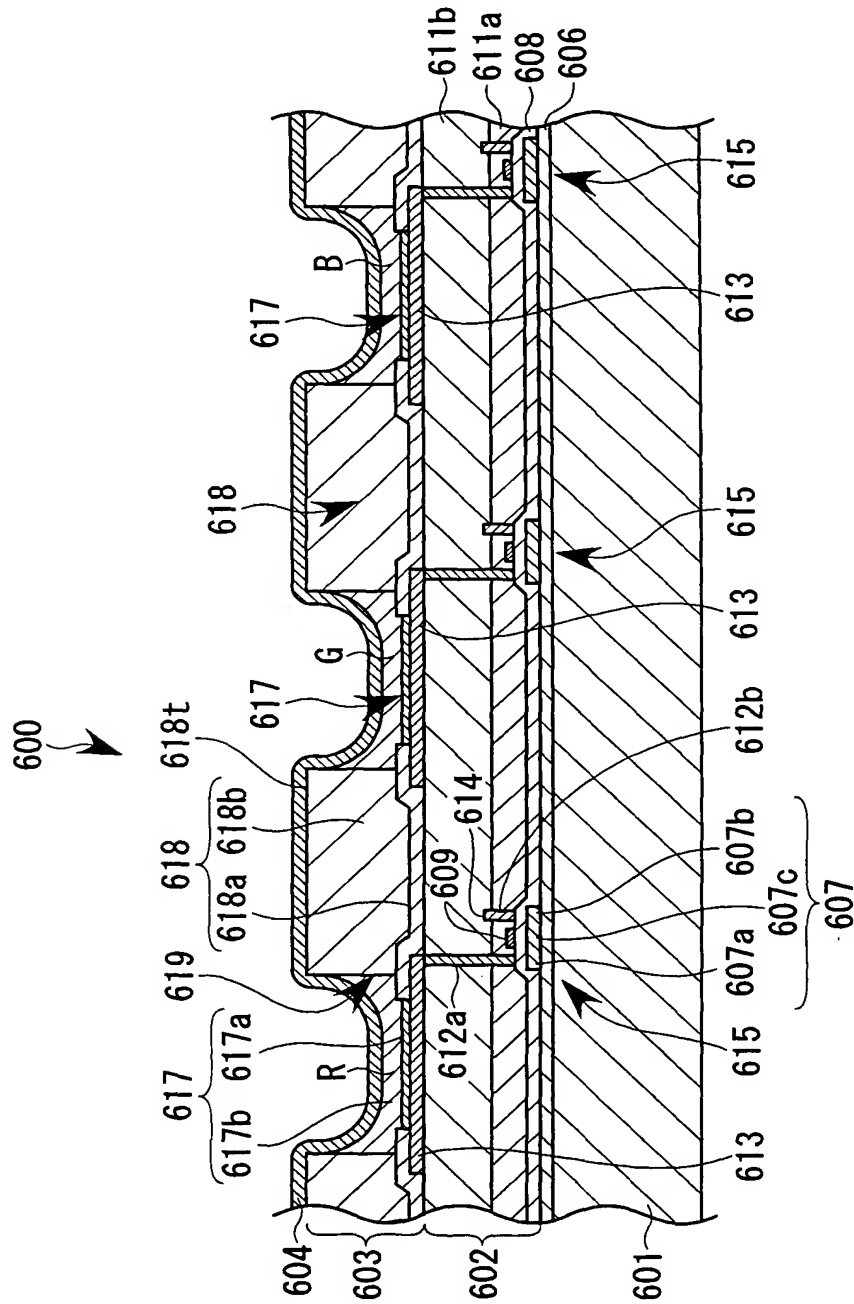
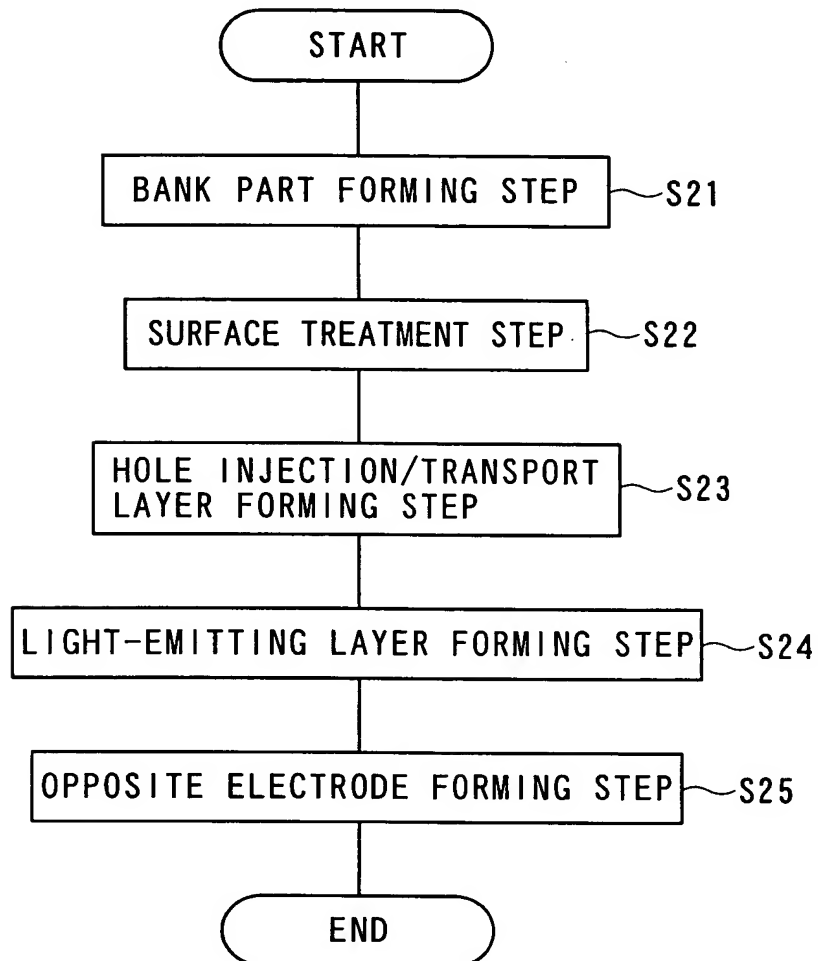


FIG. 17



18/28

FIG. 18



19/28

FIG. 19

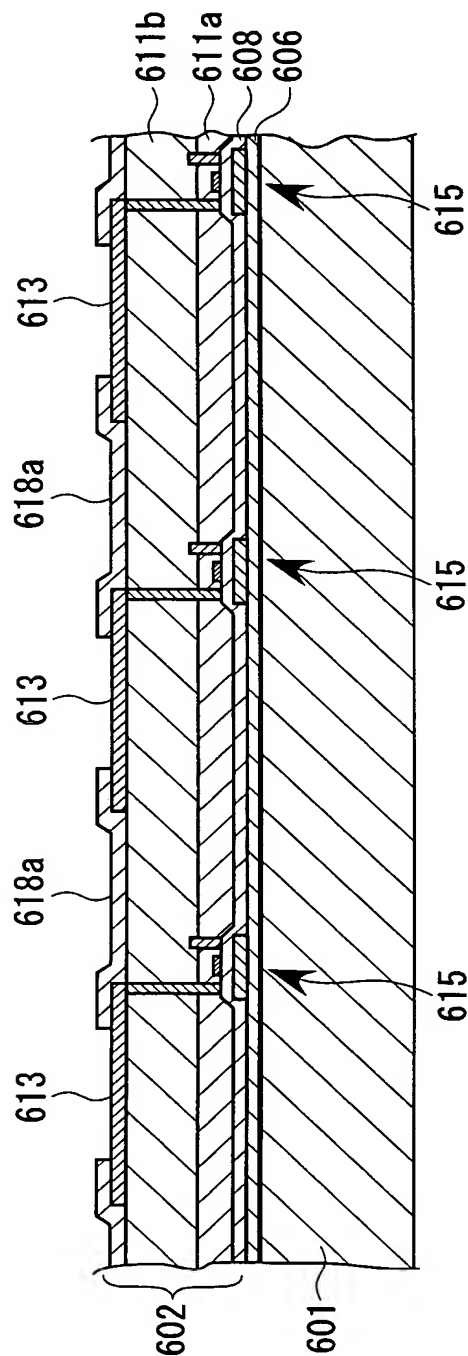


FIG. 20

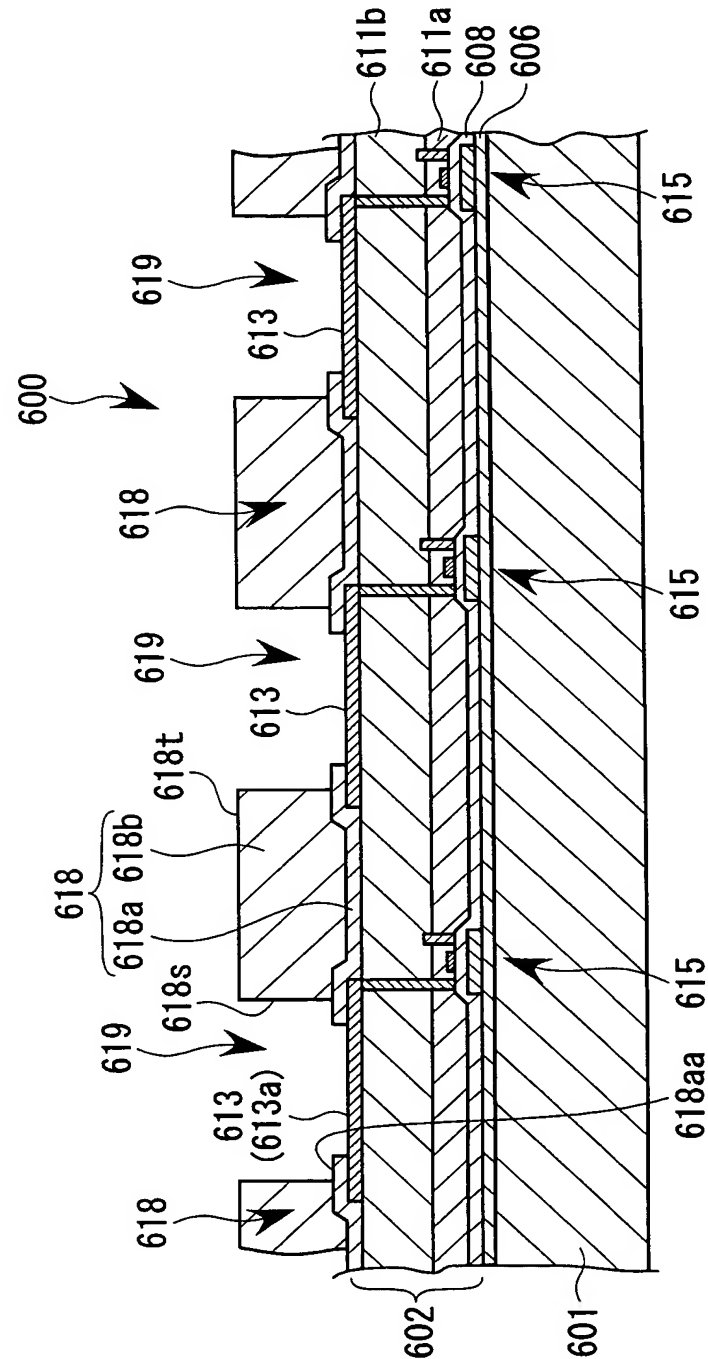




FIG. 22

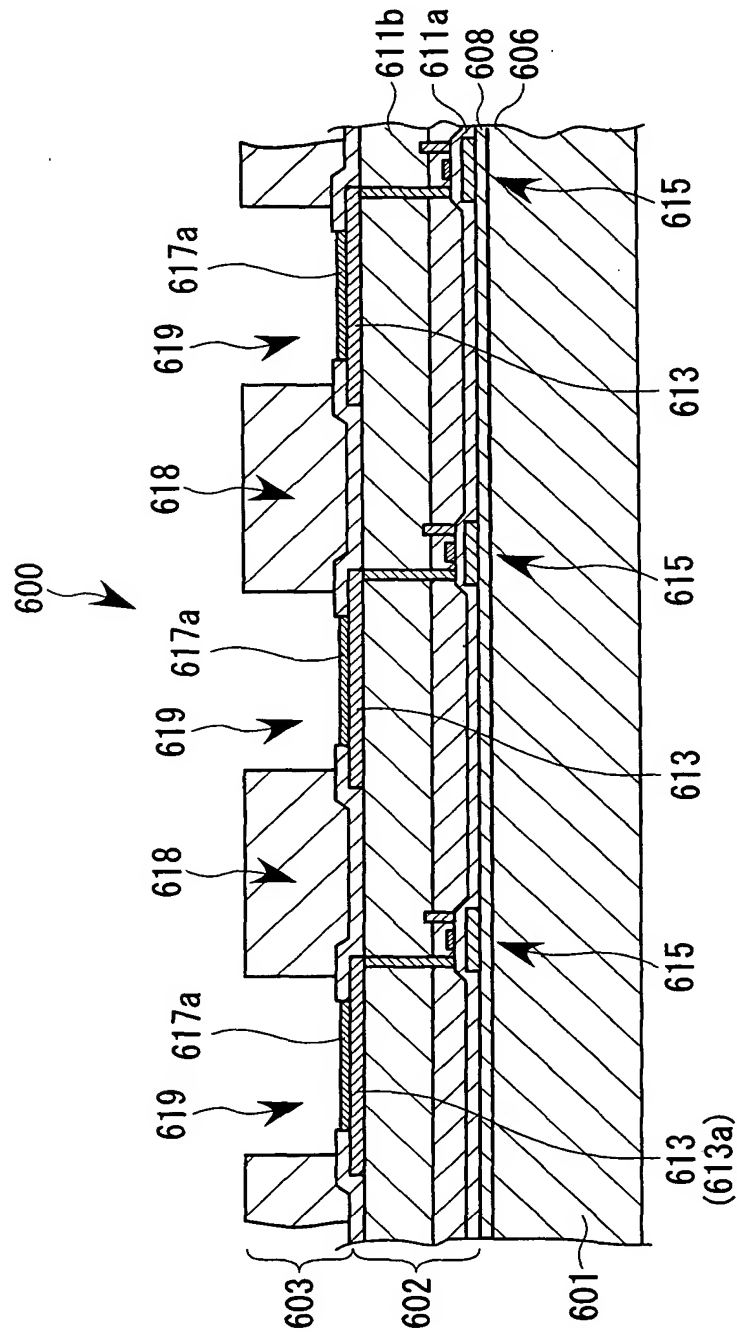


FIG. 23

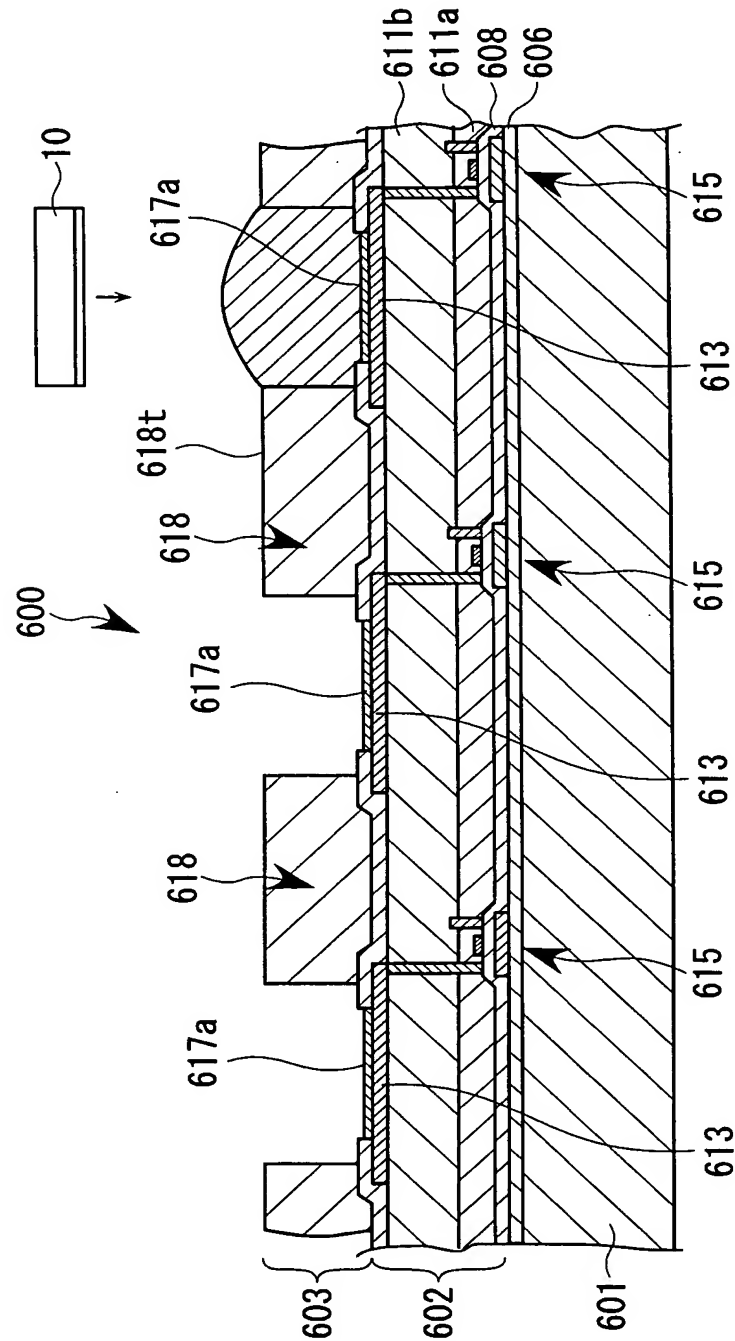




FIG. 25

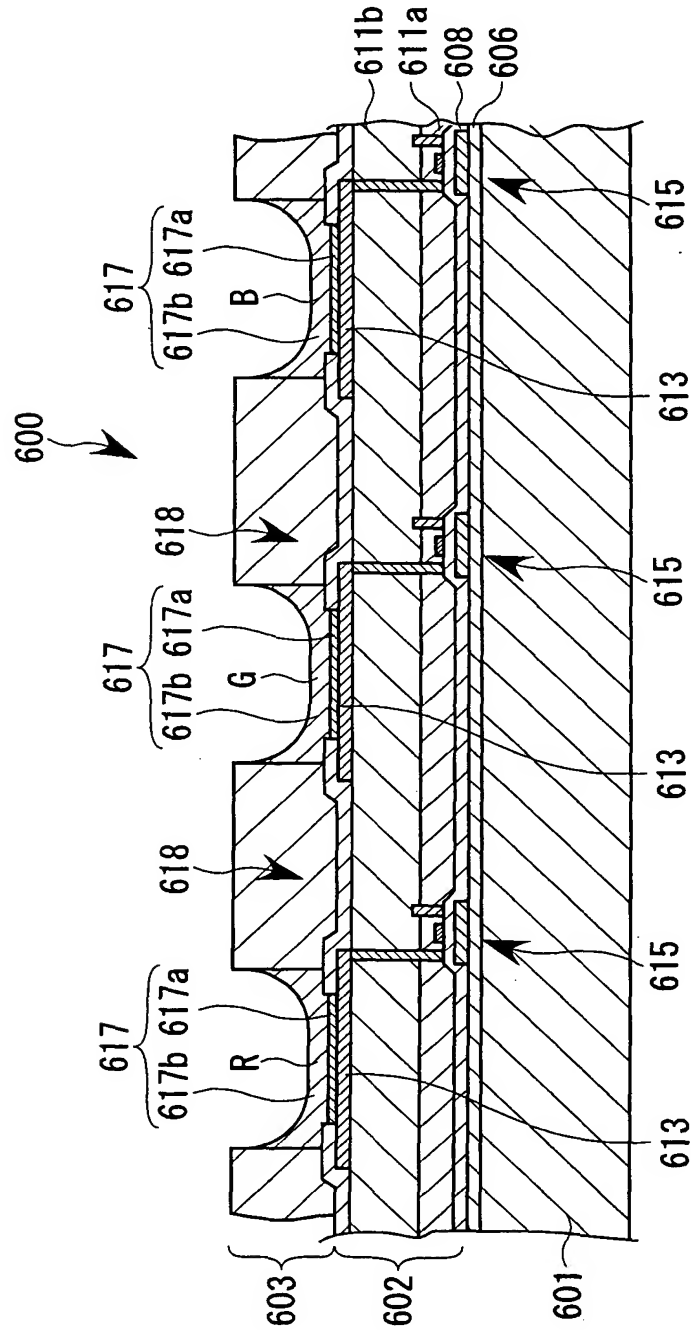
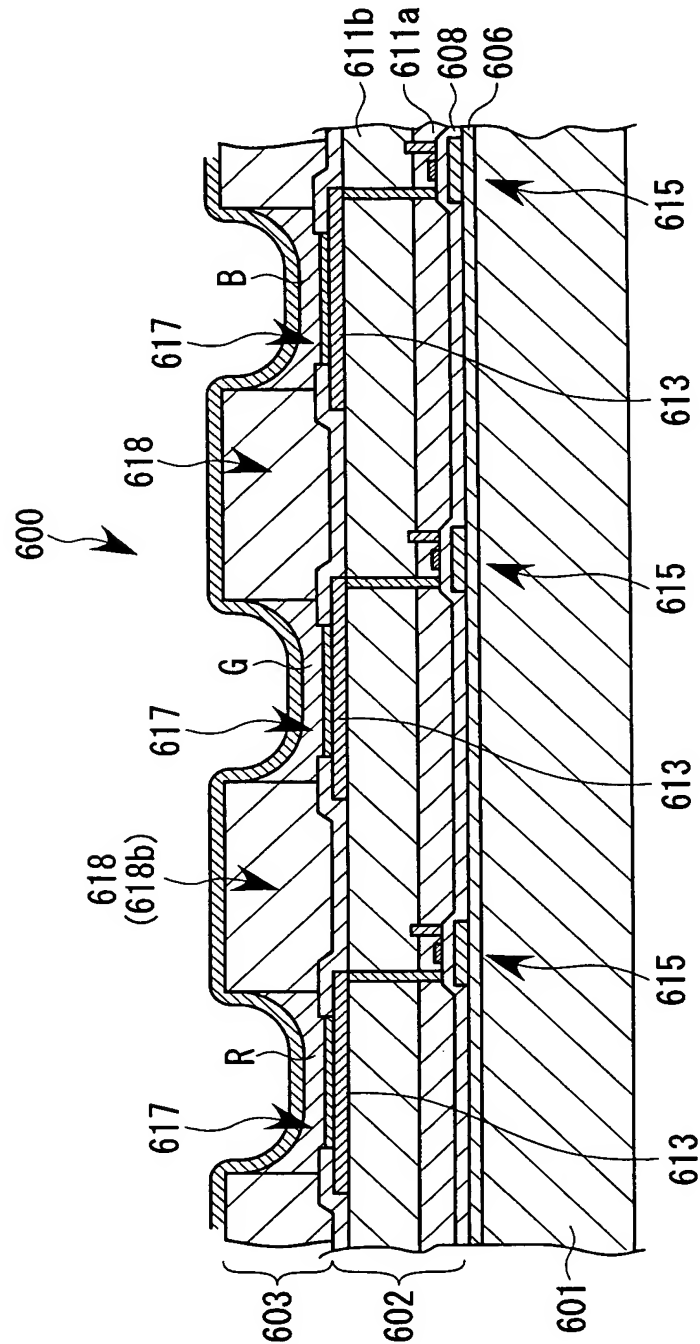


FIG. 26



27/28

F I G. 2 7

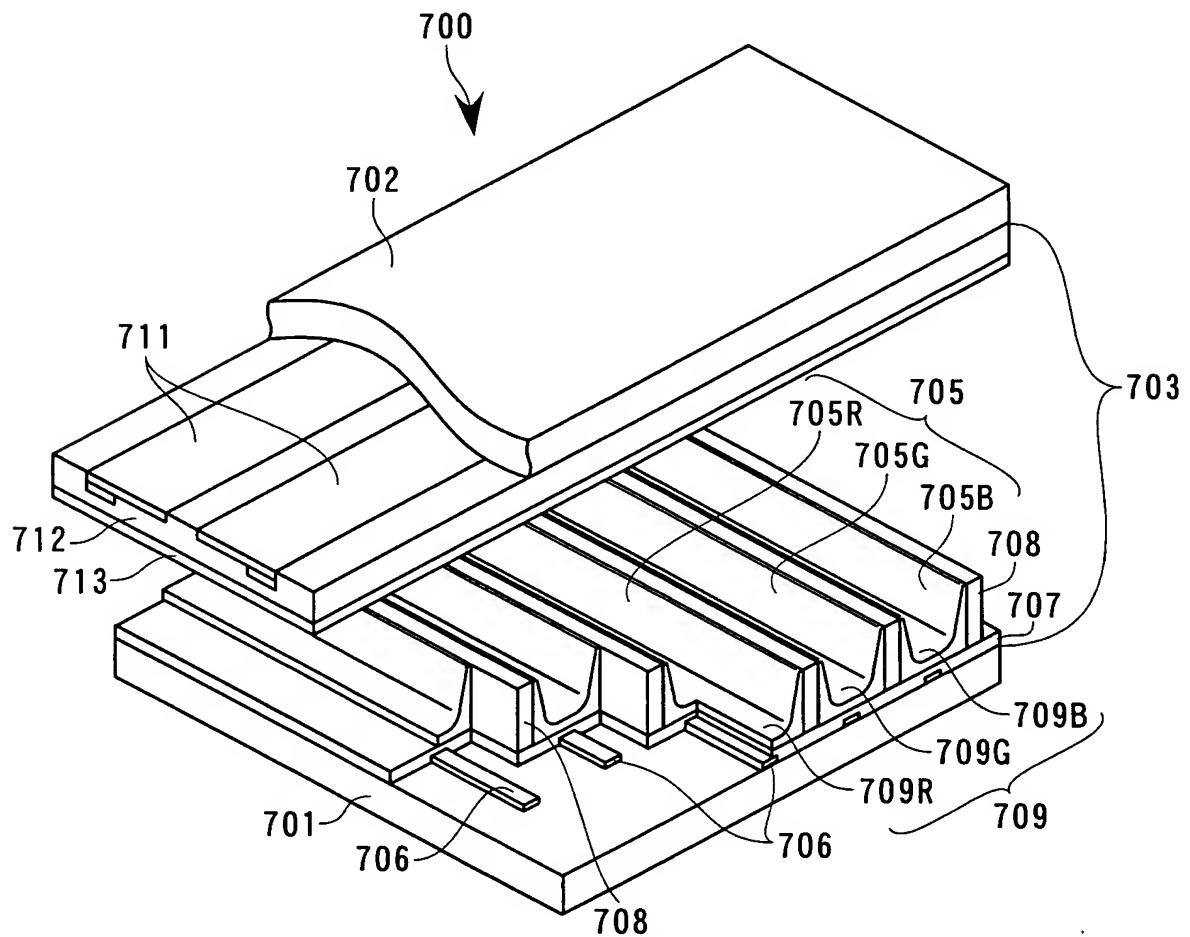


FIG. 28

